

ленным взаимодействием, где эти ускорения ограничены. Поэтому в теории и расчетах таких приборов возможно использование преобразования Лоренца в расчетах сил пространственного заряда.

## ЛИТЕРАТУРА

[1] Фок В. А. Теория пространства, времени и тяготения. М., 1955. [2] Кураев А. А., Синицын А. К. // Радиотехн. и электроника. 1989. 34, № 10. С. 2166. [3] Кураев А. А., Синицын А. К., Тимохин А. // ДАН БССР. 1989. 33, № 11. С. 989. [4] Вайнштейн Л. А., Солнцев В. А. Лекции по сверхвысокочастотной электронике. М., 1973.

ВЕСТН. МОСК. УН-ТА. СЕР. 3, ФИЗИКА. АСТРОНОМИЯ. 1992. Т. 33, № 3

УДК 621.385.653

## ЭФФЕКТЫ КАНАЛИЗАЦИИ И СВЕРХИЗЛУЧЕНИЯ В АНСАМБЛЯХ ЭЛЕКТРОНОВ-ОСЦИЛЛЯТОРОВ

Н. С. Гинзбург, А. С. Сергеев \*)

Исследовано индуцированное излучение локализованных ансамблей электронов-осцилляторов в свободном пространстве. Эффекты канализации реализуются при распространении волновых пучков вдоль электронных потоков, играющих роль открытых активных волноводов. На линейной стадии взаимодействия возбуждаются квази-поверхностные моды, а на нелинейной — волновой пучок расширяется и электромагнитная энергия излучается во внешнее пространство. Происходит стохастическое торможение частиц, взаимодействующих с ансамблем электромагнитных волн, распространяющихся под различными углами к оси системы, и КПД может быть выше, чем в закрытых волноводах. Эффекты сверхизлучения имеют место в сгустках электронов-осцилляторов, формирующих движущиеся активные резонаторы. Вследствие развития беспороговой неустойчивости возникает банчировка электронов и их когерентное излучение, которое будет квазимонохроматическим в сопровождающей системе отсчета и многочастотным — в лабораторной. Если поступательная скорость сгустка близка к скорости света, то основная доля мощности излучения сосредоточена в коротковолновой компоненте.

### 1. Введение

В соответствии с соотношениями Крамерса—Кронига восприимчивость ансамблей электронов-осцилляторов имеет как активную, так и реактивную составляющие. Поэтому при канализации в свободном пространстве такие осцилляторы могут не только усиливать электромагнитное излучение, но и формировать электронные волноводы и резонаторы, определяющие пространственно-временную структуру излучения. Настоящий обзор посвящен двум основным типам радиационных процессов в локализованных ансамблях электронов-осцилляторов — канализации и сверхизлучению.

Эффекты канализации [1—19] реализуются при распространении и усилении излучения вдоль электронных волноводов, формируемых интенсивными электронными пучками. Эффекты канализации могут быть полезны при исследовании:

а) селекции мод по поперечному индексу в устройствах с пространственно-развитыми электродинамическими системами, в частности когерентного излучения на «горячих модах», представляющих собой сумму большого числа мод холодной электродинамической системы;

б) увеличения инкрементов нарастания и снижения стартовых токов, обусловленных концентрацией излучения в области электронного

\*) Институт прикладной физики РАН, г. Нижний Новгород.

пучка, и уменьшения полного объема, занимаемого электромагнитным полем;

в) уменьшения опасности ВЧ-пробоев вследствие уменьшения напряженностей полей на стенках электродинамических систем;

г) увеличения эффективности энергообмена.

В данной работе эффекты канализации исследованы на примере двумерной модели лазера на свободных электронах (ЛСЭ) с ленточным электронным пучком. Показано, что на линейной стадии взаимодействия имеет место возбуждение квазиповерхностных усиливающихся мод. На нелинейной стадии волновой пучок расширяется и электромагнитная энергия излучается во внешнее пространство. Этот процесс сопровождается стохастическим торможением частиц, взаимодействующих с ансамблем волн, распространяющихся под различными углами к оси системы. В результате может достигаться эффективность энергообмена, значительно превышающая имеющую место в традиционных условиях, когда поперечная структура поля (фактически угол излучения) задается внешними электродинамическими системами.

Эффекты сверхизлучения [19—31] развиваются в электронных сгустках, формирующих активные электронные резонаторы (с размерами, вообще говоря, превышающими длину волны). В результате развития беспороговых сверхизлучательных неустойчивостей энергия осцилляторного движения может излучаться в виде коротких электромагнитных импульсов. Подобные процессы следует рассматривать как классический аналог известного в квантовой электронике эффекта сверхизлучения Дикке [32—34]. Если электронный сгусток движется поступательно, то в соответствии с эффектом Доплера частота излучения в лабораторной системе отсчета будет зависеть от угла наблюдения, примерно совпадая с частотой индивидуального излучения осциллирующей частицы. Таким образом, рассматриваемое излучение обладает свойствами как индуцированных (когерентность), так и спонтанных процессов (разнонаправленность, многочастотность, беспороговость). Заметим, однако, что при поступательной скорости сгустка, близкой к скорости света, основная доля излучаемой мощности окажется сосредоточенной в коротковолновой компоненте, распространяющейся в направлении поступательного движения. Ниже сверхизлучательные неустойчивости исследованы для сгустка (слоя) электронов, вращающихся в однородном магнитном поле, а также для электронного сгустка, движущегося в поле ондулятора.

## 2. Эффекты канализации

а) Основные уравнения. Рассмотрим двумерную модель ЛСЭ (рис. 1). Предположим, что осцилляторное движение сообщается электронам при движении в поле плоского ондулятора, магнитное поле которого задается вектор-потенциалом

$$A_u = \text{Re} [y_0 A_u \text{ch}(h_u x) \exp \{i h_u z\}], \quad (1)$$

где  $h_u = 2\pi/d$ ,  $d$  — период ондулятора. Ленточный релятивистский электронный пучок инжектируется в плоскости  $x=0$ , поступательная скорость частиц  $v_{||} = \beta_{||} c$  направлена вдоль оси  $z$ . Пусть излучаемое электромагнитное поле представляет собой монохроматический квазиоптический волновой пучок, распространяющийся вдоль оси системы:

$$A_s = \text{Re} [y_0 A_s(z, x) \exp \{i(\omega_s t - h_s z)\}]. \quad (2)$$

При выполнении условий комбинационного синхронизма  $\omega_s = h_c v_{\parallel}$  ( $h_c = h_s + h_u$ ,  $h_s = \omega_s/c$ ) процесс стимулированного излучения описывается системой усредненных уравнений движения электронов и параболическим уравнением для амплитуды волнового пучка. В предположении, что относительные изменения энергии электронов невелики, а также в пренебрежении кулоновским взаимодействием частиц самосогласованная система уравнений может быть приведена к виду

$$\frac{\partial^2 \theta}{\partial Z^2} = \text{Im}(a \exp\{i\theta\}), \quad (3)$$

$$i \frac{\partial^2 a}{\partial X^2} + \frac{\partial a}{\partial Z} = 2i\delta(X) j \quad (4)$$

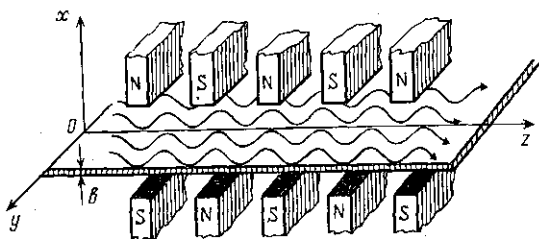


Рис. 1. Двумерная модель ЛСЭ с плоским ондулятором и ленточным электронным пучком

с граничными условиями

$$\theta|_{z=0} = \theta_0 \in [0, 2\pi], \quad \frac{\partial \theta}{\partial Z} \Big|_{z=0} = -\Delta, \quad a|_{z=0} = a_0(X). \quad (5)$$

При записи (3)–(5) использованы следующие безразмерные обозначения:  $Z = (\omega_s/c) zG$ ,  $X = (\omega_s/c) x \sqrt{2G}$  — продольная и поперечная координаты,  $\theta = \omega_s t - h_c z - \frac{2\pi}{2\pi}$  — фаза электрона относительно комбинационной волны,  $j = (1/\pi) \int_0^{2\pi} \exp\{-i\theta\} d\theta_0$  — амплитуда первой гармоники высокочастотного

тока,  $a = \mu \alpha_s \alpha_u G^{-2}/2$  — амплитуда волны,  $\mu = \gamma_0^{-2} \beta_{\parallel 0}^{-3}$ ,  $\alpha_{s,u} = eA_{s,u}/(mc^2 \gamma_0)$ ,  $\Delta = (c/v_c^{\text{min}} - c/v_{\parallel 0}) G^{-1}$  — начальная расстройка комбинационного синхронизма,  $v_c^{\text{min}} = \omega_s/h_c$  — фазовая скорость комбинационной волны, которая соответствует электромагнитной волне, излучающейся строго вдоль оси системы,

$$G = (1/2^{1/5}) (\mu \alpha_u^2 \omega_{p\perp}^2 b / (8\omega_s c \beta_{\parallel 0}^2))^{2/5} \quad (6)$$

— параметр усиления,  $\omega_{p\perp} = \sqrt{4\pi e^2 \rho_0 / (m \gamma_0)}$  — «поперечная» плазменная частота,  $\gamma_0 = (1 - \beta_{\parallel 0}^2)^{-1/2}$ ,  $b$  — ширина электронного пучка,  $\delta(X)$  — дельта-функция. Мы исследуем здесь случай тонкого ленточного электронного пучка, которому соответствует малый параметр Френеля:  $b^2/L\lambda \ll 1$ , где  $L$  — характерная длина взаимодействия (обратный инкремент),  $\lambda$  — длина волны излучения.

Из уравнений (3)–(5) следует закон сохранения энергии

$$\frac{dP}{dZ} = 8 \frac{d\hat{\eta}}{dZ} = 4|a| |x=0| |j| \sin \varphi, \quad (7)$$

где  $P = \int_{-\infty}^{\infty} |a|^2 dX$  — продольный поток электромагнитной энергии,  $\hat{\eta} = (1/2\pi) \int_0^{2\pi} u d\theta_0$  — приведенный КПД (полный КПД  $\eta = \frac{G}{\mu(1 - \gamma_0^{-1})} \hat{\eta}$ ),

$u = \partial \theta / \partial Z + \Delta$  — нормализованные потери энергии электронов,  $\varphi = \arg a|_{x=0} - \arg j$  — фаза ВЧ тока относительно фазы электромагнитного поля.

б) Линейная стадия взаимодействия. Режим канализации излучения электронным потоком. В приближе-

нии малого сигнала ( $a \rightarrow 0$ ), линеаризуя уравнения движения (3), получим уравнение для амплитуды ВЧ тока:

$$\left(\frac{\partial}{\partial z} - i\Delta\right)^2 j = -a. \quad (8)$$

Для безграничной в продольном направлении системы, представляя решение уравнений (4), (8) в виде  $j = \hat{j} \exp\{i\Gamma Z\}$ ,  $a = \hat{a} \exp\{i\Gamma Z - i\kappa |X|\}$ , получаем дисперсионное уравнение, описывающее нормальные волны [10]:

$$\kappa(\kappa^2 - \Delta) = i, \quad (9)$$

где  $\kappa$  и  $\Gamma = \kappa^2$  — поперечные и продольные волновые числа. Корни дисперсионного уравнения (9) легко находятся в случае точного синхронизма:

$$\kappa_n = \exp\{i(\pi/10 + 2\pi(n-1)/5)\}, \quad \Gamma_n = \exp\{i(\pi/5 + 4\pi(n-1)/5)\}, \quad (10)$$

где  $n=1, \dots, 5$ . Таким образом, в рассматриваемой системе существуют пять нормальных волн (рис. 2). Однако среди этих волн только одна

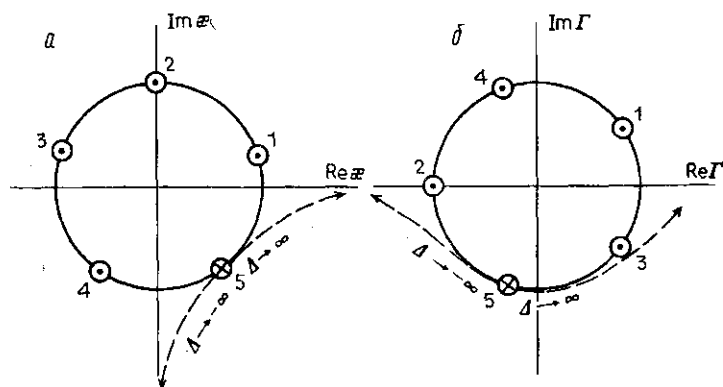


Рис. 2. Расположение на комплексной плоскости поперечных (а) и продольных (б) волновых чисел нормальных волн ленточного потока электронов-осцилляторов. Стрелками показано направление смещения корня, соответствующего усиливающейся локализованной моде  $n=5$  при изменении параметра расстройки синхронизма  $\Delta > 0,4$ .

волна ( $n=5$ ) усиливается в продольном направлении ( $\text{Im } \Gamma_5 < 0$ ), спадает в поперечном ( $\text{Im } \kappa_5 < 0$ ) и имеет поток электромагнитной энергии, направленной от электронного пучка к периферии ( $\text{Re } \kappa_5 > 0$ ).

На рис. 3 показаны продольные и поперечные волновые числа канализируемой моды ( $n=5$ ) при произвольных значениях параметра расстройки  $\Delta$ . Максимальный инкремент достигается при  $\Delta=0$ . Фазовая скорость электромагнитной волны  $v_{\text{ph}} = \omega_s/c(1 - \text{Re } \Gamma)$  меньше, чем скорость света  $c$ , в области  $\Delta < 0,4$  и превышает эту скорость в области  $\Delta > 0,4$ .

Согласно рис. 3, а, чем больше параметр  $\Delta$ , т. е. чем больше разница между поступательной скоростью электронов  $v_{\parallel 0}$  и минимальной фазовой скоростью комбинационной волны  $v_c^{\text{min}}$ , тем больше реальная часть поперечного волнового числа и меньше мнимая часть. Это оз-

начает, что с ростом  $\Delta$  возрастает поперечный поток электромагнитной энергии и уменьшается степень локализации волнового пучка вблизи электронного канала. В асимптотическом случае  $\Delta \gg 1$  имеем

$$\begin{aligned} \operatorname{Re} \kappa &= \Delta^{1/2}, \quad \operatorname{Im} \kappa = \frac{1}{2\sqrt{2}} \Delta^{-3/4}, \quad \operatorname{Re} \Gamma = \Delta, \\ \operatorname{Im} \Gamma &= \frac{\Delta^{-1/4}}{\sqrt{2}}. \end{aligned} \quad (11)$$

В этом случае собственная мода представляет собой сумму двух плоских волн, излучающихся под таким углом  $\psi$  к оси системы, что фазовая скорость комбинационной волны

$$v_c(\psi) = \frac{\omega_s}{h_u + (\omega_s/c) \cos \psi} \quad (12)$$

совпадает с поступательной скоростью электронов. Канализационные эффекты в этом режиме почти несущественны. Напротив, в области больших отрицательных  $\Delta$

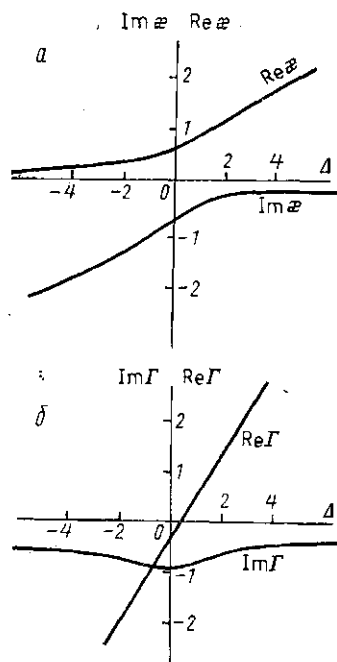


Рис. 3. Зависимость от параметра расстройки синхронизма действительных и мнимых частей поперечных (а) и продольных (б) волновых чисел усиливающей локализованной моды

поперечный поток электромагнитной энергии стремится к нулю ( $\operatorname{Re} \kappa \rightarrow 0$ ), масштаб локализации поля уменьшается и взаимодействие приобретает чисто реактивный характер.

На основе линейной системы уравнений (4), (8) можно рассмотреть полубезграничную задачу о дифракции плоской волны:  $a_0(X) = \text{const}$ , падающей на слой электронов-осцилляторов в сечении  $Z=0$ . Используя преобразование Лапласа, для излучаемого поля при  $\Delta=0$  получим [11]

$$\begin{aligned} a(Z, X) &= a_0 \left[ \Phi \left( \frac{\sqrt{i} X}{2\sqrt{Z}} \right) + \frac{1}{5} \sum_{n=1}^5 \exp \{ -i\kappa_n |X| + i\Gamma_n Z \} \times \right. \\ &\times \left. \left( 1 - \Phi \left( \frac{\sqrt{i} X}{2\sqrt{Z}} - \kappa_n \sqrt{iZ} \right) \right) \right], \end{aligned} \quad (13)$$

где величины  $\kappa_n$ ,  $\Gamma_n$  определяются соотношениями (10),  $\Phi(u)$  — интеграл вероятности. Принимая во внимание асимптотические представления функции  $\Phi(u)$  при больших значениях аргумента, из (12) получим, что пространственная структура поля в зоне, удаленной от входного сечения на расстояние, существенно превосходящее обратный инкремент  $Z \gg 1$ , определяется возбуждением канализируемой усиливаемой волны:

$$a(Z, X) \rightarrow (2/5) a_0 \exp \{ -i\kappa_5 |X| + i\Gamma_5 Z \}. \quad (14)$$

в) Нелинейная стадия взаимодействия. Режим дифракционного излучения электронного потока во

внешнее пространство. Исследование нелинейной стадии взаимодействия ленточного потока электронов-осцилляторов с волновым пучком проводилось в [11—13] путем численного моделирования уравнений движения электронов (3) совместно с интегральным представлением решения параболического уравнения:

$$a(Z, X) = \frac{\sqrt{i}}{2\sqrt{\pi Z}} \int_{-\infty}^{\infty} a_0(X') \exp \left\{ -\frac{i(X-X')^2}{4Z} \right\} dX' - \frac{1}{\sqrt{i\pi}} \int_0^Z \exp \left\{ -\frac{iX^2}{4(Z-Z')} \right\} / \sqrt{Z-Z'} dZ'. \quad (15)$$

Предполагалось, что падающее поле представляет собой гауссов пучок:  $a_0(X) = a_0 \exp \{-X^2/X^2\}$ . На рис. 4, 5 представлены результаты численного моделирования при  $\Delta=0$  и  $\Delta=6$ . Численное моделирование подтвердило сделанный выше вывод, что при произвольном начальном про-

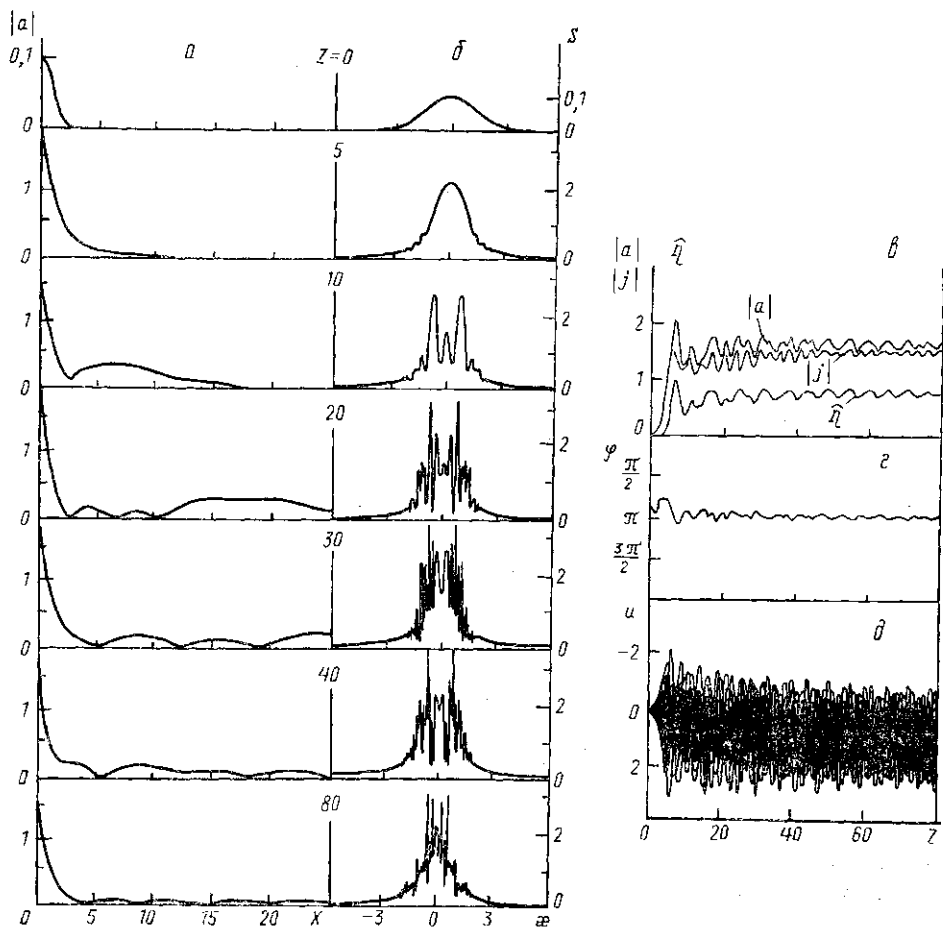


Рис. 4. Профиль волнового пучка (а); угловой спектр (б); амплитуда ВЧ-поля, действующего на электроны, амплитуда ВЧ-тока и приведенный КПД (а); разностная фаза (г); относительные потери энергии частиц (д) как функции продольной координаты при  $\Delta=0$

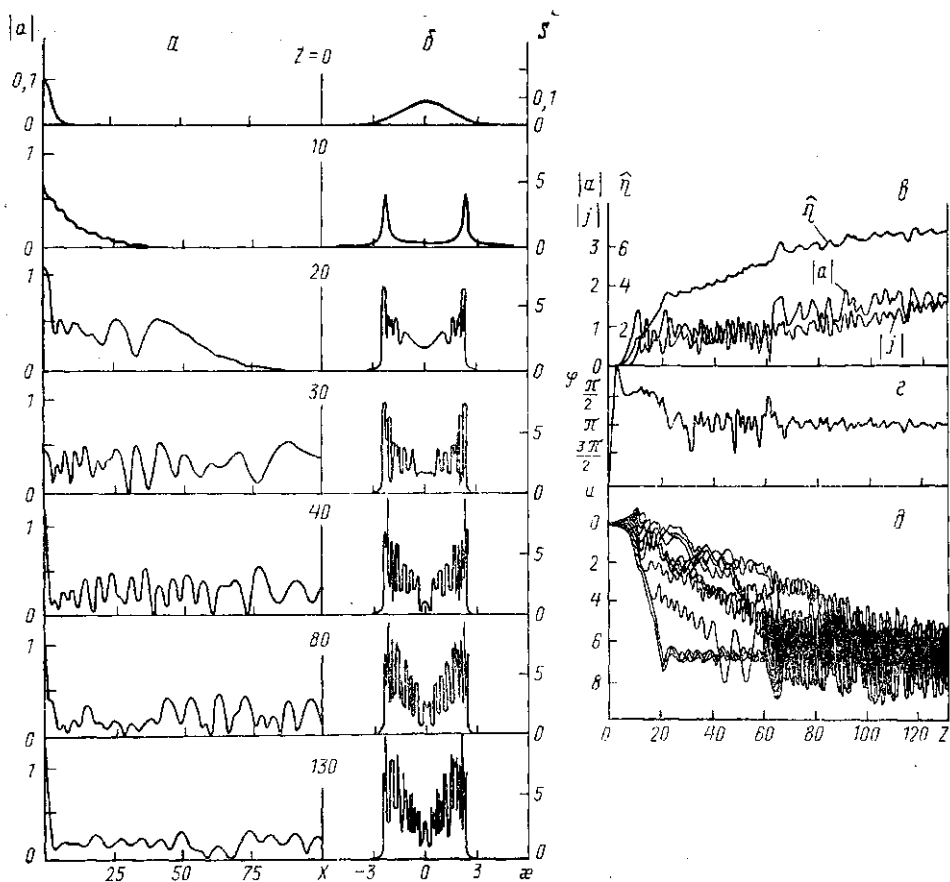


Рис. 5. То же, что на рис. 4, при  $\Delta=6$

филе волнового пучка в области линейного усиления на достаточном удалении от входного сечения (на рис. 4, а, б  $Z \approx 5$ , на рис. 5, а, б  $Z \approx 10$ ) структура и угловой спектр

$$S_{\alpha} = \frac{1}{\sqrt{\pi}} \int_{-\infty}^{\infty} a(X) \exp\{-i\alpha X\} dX$$

излучаемого поля близки к структуре собственной локализованной моды. При этом, согласно результатам п. 2 б, имеет место частичное вытекание электромагнитной энергии из электронного канала. Это вытекание приводит к тому, что в области ( $Z > 5$  на рис. 4,  $Z > 10$  на рис. 5), где начинают играть роль эффекты насыщения и амплитуда поля в присоединенной зоне стабилизируется (см. рис. 4, в и 5, в), возникает расширение поперечных размеров волнового пучка (на периферию приходят лучи, испущенные электронами в предшествующих сечениях). На нелинейной стадии существует достаточно протяженная область высвечивания генерируемой электронным потоком электромагнитной энергии во внешнее пространство.

На конечном участке ( $Z > 40$  на рис. 4 и  $Z > 100$  на рис. 5) взаимодействие электронов с волновым пучком приобретает чисто реактив-

ный характер: устанавливается стационарное солитоноподобное состояние, когда захваченные волной электроны создают ВЧ ток, амплитуда которого вследствие сильного перемешивания частиц внутри фазового объема, ограниченного сепаратрисой, постоянна, а фаза тока по отношению к фазе поля близка к  $\pi$  (рис. 4, г, 5, з), т. е. энергообмен отсутствует (см. (7)). При этом небольшая доля излученной энергии продолжает канализироваться электронным потоком благодаря эффекту полного внутреннего отражения.

Важно отметить, что при излучении потока осцилляторов в свободном пространстве КПД монотонно растет (в рамках сде-

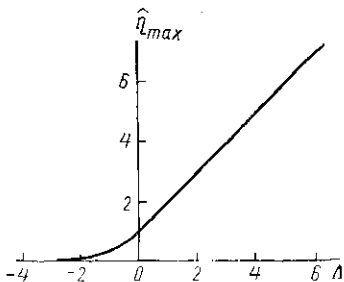


Рис. 6. Зависимость максимального приведенного КПД от начальной расстройки синхронизма

ланных при выводе уравнений движения предположений\*) с увеличением параметра начального рассинхронизма (рис. 6).

Рост КПД обусловлен эффектом стохастического торможения частиц (ср. с [35]), существенном при больших положительных значениях параметра  $\Delta$  (см. рис. 5, д, область  $15 < Z < 100$ ). Дело в том, что излучаемое в свободное пространство поле представляет собой совокупность плоских волн, распространяющихся под различными углами  $\psi$  к оси системы, которым соответствуют различные скорости синхронных с электронами комбинационных волн (см. (12)). При этом если на линейной стадии (см. рис. 5, б) в угловом спектре излучения при  $\Delta \gg 1$  спектральные максимумы ( $\alpha \approx \sqrt{\Delta}$ , ср. с (11)) соответствуют волнам, излучающимся под такими углами  $\psi$ , что фазовая скорость комбинационных волн близка к невозмущенной поступательной скорости частиц  $v_c(\psi) = v_{||0}$ , то по мере торможения частиц происходит заполнение спектра волнами, излучающимися под меньшими углами  $\psi$ , для которых  $v_c(\psi) < v_{||0}$ . Наиболее медленная компонента пакета комбинационных волн  $v_c^{\min} = \omega_s / h_c$ , очевидно, соответствует электромагнитной волне, распространяющейся строго вдоль оси системы:  $\psi \rightarrow 0$ . Как видно из рис. 5, д, электроны последовательно (эстафетно) взаимодействуют с различными компонентами пакета комбинационных волн, пока средняя скорость  $v_{||}$  всех электронов не сравняется с  $v_c^{\min}$ , далее энергообмен практически прекращается. Электронный КПД при этом оказывается тем выше, чем сильнее начальная поступательная скорость частиц  $v_{||0}$  превосходит  $v_c^{\min}$ , т. е. чем больше параметр  $\Delta$ .

Анализ полных уравнений движения (т. е. уравнений, в которых не предполагается малости изменения энергии частиц) показывает, что в режиме излучения в свободное пространство в ЛСЭ может достигаться КПД, превышающий 50% [13]. Такой уровень КПД сравним со значениями, реализуемыми в ЛСЭ с ондуляторами переменного периода [37]. Однако в рассматриваемой здесь ситуации, в отличие от [37], излучение имеет сложный угловой спектр, что, естественно, затрудняет его практическое использование.

\*) При тех же предположениях в системах с фиксированной поперечной структурой поля максимум приведенного КПД  $\eta = 2,56$  достигается при  $\Delta = 1,78$  [36], а при больших  $\Delta$  происходит срыв режима усиления.



Заметим в заключение, что магнитотормозное излучение поливинтового электронного потока в однородном магнитном поле [14, 19] или черенковское излучение прямолинейного ленточного электронного пучка в однородной диэлектрической среде [15] или плазме [16—18] имеют характеристики, аналогичные описанным выше. То есть имеет место канализация излучения на линейной стадии взаимодействия и расширение волнового пучка, сопровождающееся режимом стохастического торможения частиц на нелинейной стадии.

### 3. Эффекты сверхизлучения

Рассмотрим здесь процессы индуцированного излучения в ансамблях осцилляторов, образующих активные электронные резонаторы. Особенностью исследуемых далее вопросов по сравнению с традиционными для электроники СВЧ постановками генераторных задач является «непролетность», т. е. бесконечно большое время жизни и взаимодействия осцилляторов с высокочастотным полем\*). При этом электронный сгусток (резонатор) может двигаться как целое. Ниже в рамках одномерной модели исследуются особенности циклотронного и осцилляторного сверхизлучений.

а) Циклотронное сверхизлучение. Допустим, что электроны, вращающиеся в однородном магнитном поле  $\mathbf{H} = H_0 \mathbf{z}_0$ , образуют слой, который безграничен в  $x, y$ -направлениях и имеет ширину  $b$  вдоль оси  $z$ . Электроны имеют одинаковый поперечный импульс  $p_{\perp 0} = m\gamma v_{\perp 0}$  и с точностью до малых флуктуаций равномерно распределены по фазам циклотронного вращения. Поступательная скорость  $u$  электронов отсутствует.

Движение электронов описывается следующим уравнением:

$$\frac{\partial p_+}{\partial t} - i\omega_H p_+ = -eE_+(z, t), \quad (16)$$

где  $p_+ = p_x + ip_y$ ,  $E_+ = E_x + iE_y$ ,  $\omega_H = eH_0/mc\gamma$  — релятивистская гирочастота,  $\gamma = (1 + |p_+|^2/m^2c^2)^{1/2}$ . Слой будет излучать в  $\pm z$ -направлении циркулярно поляризованные волны. Амплитуда поля определяется вынужденным решением волнового уравнения

$$E_+ = (-2\pi/c) \int_{z-ct}^{z+ct} j_+(z', t - |z - z'|/c) dz', \quad (17)$$

где  $j_+ = e\rho_0 \langle v_+ \rangle$  — плотность электронного тока,  $v_+ = v_x + iv_y$ ,  $\langle \dots \rangle$  — знак усреднения по фазам циклотронного вращения.

Предположим для определенности, что электроны слаборелятивистские:  $\gamma \approx 1 + |p_+|^2/(2m^2c^2)$  и спектр излучения сосредоточен вблизи нерелятивистской гирочастоты  $\omega_{H_0} = eH_0/mc$ . Соответственно, представляя поле излучения и импульс электронов в виде  $E_+ = A(z, t) \exp\{i\omega_{H_0}t\}$ ,  $p_+ = p \exp\{i\omega_{H_0}t\}$ , приведем систему уравнений (16), (17) к виду\*\*)

\*) На практике достаточно, чтобы время жизни превосходило обратные инкременты и время высвечивания энергии.

\*\*) Заметим, что система уравнений (18), (19) носит достаточно универсальный характер и описывает сверхизлучение в слоях неизохронных осцилляторов различной физической природы, включая акустические осцилляторы [31].

$$\frac{\partial \mathcal{P}}{\partial \tau} + i\mu |\mathcal{P}|^2 \mathcal{P} = a, \quad (18)$$

$$\mathcal{P}|_{\tau=0} = \exp\{i(\theta_0 + r \cos \theta_0)\}, \quad \theta_0 \in [0, 2\pi],$$

$$a = q \int_{z-\tau}^{z+\tau} f(Z) \langle \mathcal{P}(Z', \tau - |Z - Z'|) \rangle \exp\{-i|Z - Z'|\} dZ'. \quad (19)$$

Здесь  $\tau = \omega_{H_0} t$ ,  $Z = (\omega_{H_0}/c) z$ ,  $\mathcal{P} = p/p_{\perp 0}$ ,  $a = eA/(m\omega_{H_0} v_{\perp 0})$ ,  $q = \omega_p^2/(2\omega_{H_0}^2)$ ,  $\mu = v_{\perp 0}^2/2c^2$  — параметр неизохронности;  $r \ll 1$  — параметр, характеризующий начальную модуляцию по фазам циклотронного вращения;  $f(Z)$  — функция, описывающая распределение плотности осцилляторов вдоль слоя. Далее рассматривается однородное распределение:

$$f(Z) = \text{const}, \quad Z \in [-B/2, B/2], \quad B = (\omega_{H_0}/c) b.$$

В приближении слабого сигнала после линеаризации уравнений движения получим характеристическое уравнение, определяющее частоты и пространственные структуры собственных мод:

$$\exp\{2ih_i B\} = \left( \frac{h_e - h_i}{h_e + h_i} \right)^2. \quad (20)$$

Здесь  $h_{e,i}$  — нормализованные волновые числа вне и внутри слоя:

$$h_e = (-\mu + \Omega + 1), \quad h_i = (h_e^2 + 2qh_e(-\Omega + \mu)/\Omega^2)^{1/2}. \quad (21)$$

В случае тонкого слоя ( $B \ll 1$ ) из уравнений (20), (21) получаем [20, 23, 25]

$$\Omega^2 - iqB\Omega + i\mu qB = 0. \quad (22)$$

Для малой плотности  $q \ll 1$  для инкремента неустойчивости имеем

$$|\text{Im} \Omega| = \sqrt{qB\mu/2}. \quad (23)$$

Для произвольной ширины слоя инкременты первой симметричной  $S_1$  и первой антисимметричной  $A_1$  мод представлены на рис. 7, а. Максимальный инкремент имеет первая симметричная мода (при  $B \ll 1$  ее инкремент определяется соотношением (23)). Инкременты других мод приближаются к инкременту основной симметричной моды по мере увеличения ширины слоя. Рис. 7, б иллюстрирует пространственные структуры мод.

Нелинейная стадия циклотронного сверхизлучения может быть исследована с помощью численного решения уравнений (18), (19). На рис. 8 приведены временные зависимости мощности излучения

$$P = |a|^2|_{z=\pm B/2} \text{ и электронного КПД } \eta = 1 - 1/B \int_{-B/2}^{B/2} \langle |\mathcal{P}|^2 \rangle dZ. \text{ Заме-}$$

тим, что пиковая мощность и длительность цуга импульсов увеличиваются по мере роста толщины слоя. Рис. 9 демонстрирует формирование пространственного распределения поля, совпадающего со структурой первой симметричной моды на начальной линейной стадии неустойчивости,  $\tau < 60$ , и усложнение (стохастизацию) этой структуры на нелинейной стадии,  $\tau > 60$ .

Оценим численно пиковую мощность сверхизлучения и длительность импульса. Пусть напряженность магнитного поля составляет

100 кЭ, частота излучения  $\omega=2 \cdot 10^{12} \text{ с}^{-1}$  ( $\lambda=1 \text{ мм}$ ), плотность электронов  $\rho_0=2 \cdot 10^{14} \text{ см}^{-3}$ , поперечная скорость  $v_{\perp 0}=0,45 \text{ с}$ , ширина слоя  $b \approx \approx 2\lambda$ . При таких значениях параметров  $q=0,1$ ,  $\mu=0,1$  и мощность, из-

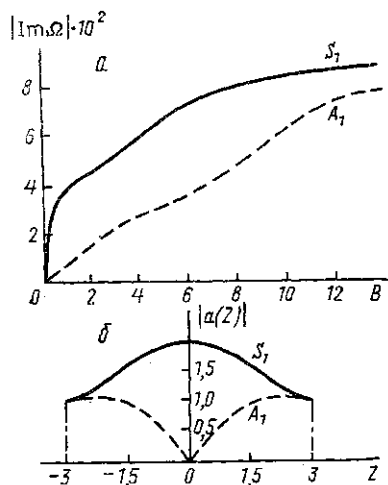


Рис. 7. Инкременты первой симметричной  $S_1$  и первой антисимметричной  $A_1$  мод как функции ширины слоя (а). Пространственная структура мод при  $B=6$ ,  $\mu=0,1$ ,  $q=0,1$  (б)

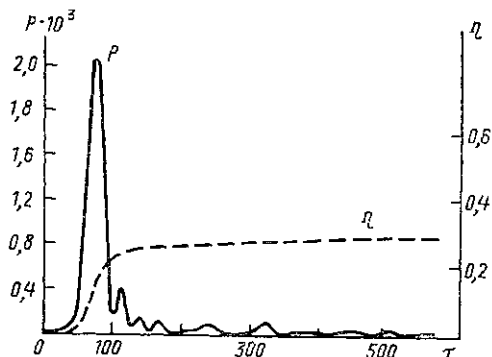


Рис. 8. Мощность циклотронного сверхизлучения и электронный КПД (пунктир) как функции времени при  $B=6$ ,  $\mu=0,1$ ,  $q=0,1$

лучаемая с одного квадратного сантиметра поверхности слоя, может достигать 1,5 ГВт. Длительность импульса на уровне  $1/e$  от пикового значения составляет  $1,5 \cdot 10^{-11} \text{ с}$ .

Заметим, что можно существенно увеличить мощность излучения и сдвинуть частоту в коротковолновую часть спектра, придав слою поступательную скорость, близкую к скорости света [25].

б) Сверхизлучение электронного сгустка, движущегося в периодическом магнитном поле. Рассмотрим излучение короткого электронного сгустка, движущегося в поле ондулятора. Допустим, что размер электронного сгустка велик в масштабе длины волны излучения, но мал в масштабе длины ондулятора, так что время жизни электронов в ондуляторном поле (в отличие от ситуации, традиционно исследуемой в теории ЛСЭ) можно считать бесконечным.

Исследуем здесь нелинейную стадию эффекта сверхизлучения в рамках одномерной модели (линейный анализ см. в [24, 19]). Предположим, что сгусток представляет собой слой ширины  $b$  в  $z$ -направле-

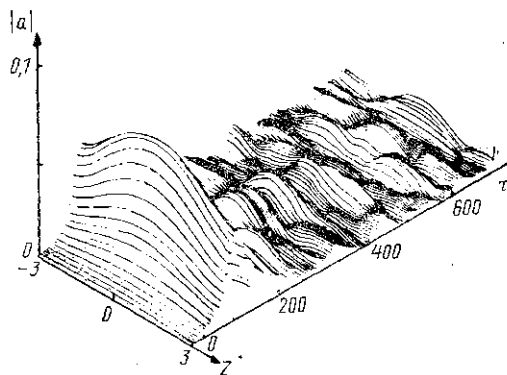


Рис. 9. Эволюция пространственного распределения поля внутри слоя осцилляторов при  $B=6$ ,  $\mu=0,1$ ,  $q=0,1$

нии и безграничен в поперечном направлении. Рассмотрение проведем в сопровождающей системе  $K'$ , где поле ондулятора трансформируется в поле электромагнитной волны накачки, заданной вектор-потенциалом

$$A'_u = \text{Re} [y_0 A'_u \exp \{i(\omega'_u t' - h'_u z')\}], \quad (24)$$

где  $h'_u = \gamma h_u$ ,  $\omega'_u = \gamma c h_u$ ,  $h_u = 2\pi/d$ ,  $d$  — период ондулятора,  $\gamma = (1 - v_{\parallel}^2/c^2)^{-1/2}$ ,  $v_{\parallel}$  — поступательная скорость слоя. Накачка сообщает частицам осцилляторную скорость  $v'_y = \text{Re} \left[ \frac{e A'_u}{mc} \exp \{i(\omega'_u t' + h'_u z')\} \right]$ . Поле, излучаемое (рассеиваемое) осцилляторными частицами, может быть представлено в виде двух волн, бегущих в  $\pm z'$ -направлениях:

$$A'_s = \text{Re} [y_0 A'_s{}^{\pm} (z', t') \exp \{i(\omega'_s t' \mp h'_s z')\}], \quad (25)$$

где  $h'_s = \omega'_s/c$ ,  $\omega'_s$  — несущая частота (далее считаем  $\omega'_s = \omega'_u$ ). Совместное воздействие на электроны полей (24), (25) приведет к появлению усредненной пондеромоторной силы, ответственной за банкировку электронов:

$$F'_{\text{pond}} = -\frac{e^2}{4m\omega_u'^2} \frac{\partial}{\partial z'} \text{Re} [A'_u A'_s{}^+ \exp \{i(h'_s + h'_u) z'\} + A'_u A'_s{}^- \exp \{i(h'_s - h'_u) z'\}]. \quad (26)$$

Для численного моделирования процесса сверхизлучения разобьем слой на  $N_{\Sigma}$  плоскостей (макроэлектронов) с координатами  $z'_n(t', z'_{0n})$ , где  $z'_{0n}$  — начальные координаты макроэлектронов. Указанные макроэлектроны взаимодействуют между собой посредством пондеромоторной силы (26) и силы кулоновского расталкивания  $F'_{\text{Coul}}$  (считаем, что статический заряд электронов скомпенсирован неподвижным ионным фоном). Уравнения движения макроэлектронов в лагранжевых переменных могут быть представлены в виде

$$\frac{d\beta'_n}{d\tau} = F'_{\text{pond}} + F'_{\text{Coul}}, \quad \frac{dz'_n}{d\tau} = \beta'_n, \quad (27)$$

где

$$F'_{\text{pond}} = \frac{q\alpha_u'^2 B}{8N_{\Sigma}} \left[ -\sum_m^{N^+(n)} v_+ \cos(Z'_n - Z'_m) + \sum_m^{N^-(n)} v_- \cos(Z'_n - Z'_m) \right],$$

$$F'_{\text{Coul}} = \frac{qB}{2N_{\Sigma}} [N^+ - N^- - N_i^+ + N_i^-].$$

Начальные условия задавались в виде

$$Z'_n|_{\tau=0} = B \left( \frac{n-1}{N_{\Sigma}-1} - \frac{1}{2} \right), \quad \beta'_n|_{\tau=0} = 0, \quad n \in [1, N_{\Sigma}].$$

Здесь  $\tau = \omega'_u t'$ ,  $Z' = (\omega'_u/c) z'$ ,  $v' = \beta' c$  — скорость продольных смещений,  $q = \omega_p'^2/\omega_u'^2$ ,  $\omega_p' = \sqrt{4\pi e^2 \rho'_0/m}$ ,  $\rho'_0$  — плотность слоя,  $B = (\omega'_u/c) b'$ ,  $\alpha'_u = e A'_u/mc$ ,  $v_{\pm} = (h'_s \pm h'_u) c/\omega'_u$ ,  $N^{\pm}(n)$  — число электронов с координатами, большими

(меньшими), чем  $Z'_n$ ,  $N_i^\pm(n)$  — то же для компенсирующего ионного фона. Для амплитуд излучаемых электронами волн имеем

$$\alpha'_s{}^\pm = \frac{eA'_s{}^\pm}{mc^2} = \frac{iq\alpha'_u B}{4N_\Sigma} \sum_m^{N^\mp} \exp\{-iv_\pm |Z' - Z'_m(\tau)|\}. \quad (28)$$

На рис. 10 показана зависимость от продольной координаты пондеромоторной силы, с которой один макроэлектрон воздействует на остальные. В отличие от силы кулоновского расталкивания (пунктир)

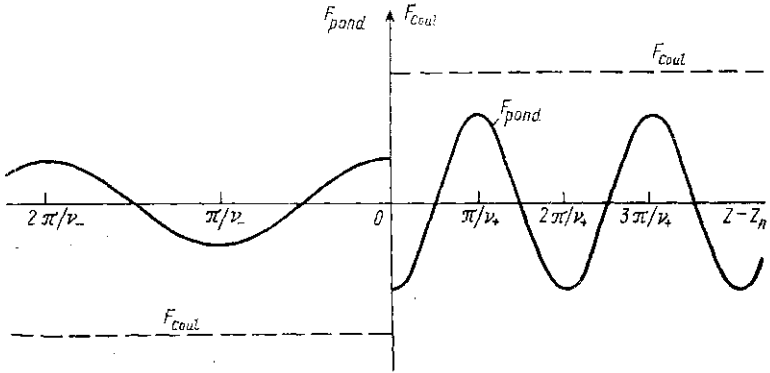


Рис. 10. Зависимость от продольной координаты пондеромоторной силы, с которой один макроэлектрон воздействует на остальные макроэлектроны. Пунктир — сила кулоновского расталкивания

эта сила в ближней зоне является притягивающей. Такой характер поведения силы взаимодействия должен приводить к неустойчивости и разбиению слоя на когерентно излучающие сгустки, что для начальной стадии процесса ( $\tau \approx 10, \dots, 20$ ) ясно видно из рис. 11, где представле-

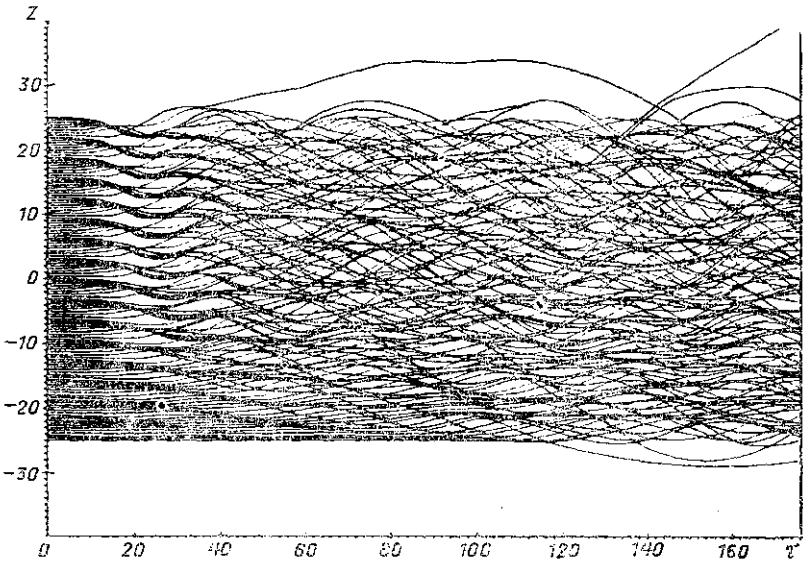


Рис. 11. Зависимость от времени координат макроэлектронов при  $q = 0,04$ ,  $\alpha'_u = 0,77$ ,  $\nu_+ = 2$ ,  $\nu_- = 0,1$ ,  $B = 50$

ны зависимости координат электронов от времени. При этом в рассматриваемом случае релятивистского ( $\gamma \gg 1$ ) движения слоя (в лабораторной системе  $K$ ), когда  $h'_s \simeq h'_u$  и  $v_+ \gg v_-$  ( $v_+ \simeq 2$ ,  $v_- \simeq \gamma^{-2}/2$ ), определяющее воздействие на движение электронов оказывает компонента ponderomotorной силы, обусловленной волной  $A_s^+$ , т. е. волной, распространяющейся навстречу волне накачки (в направлении поступательного движения в системе  $K$ ). Соответственно электроны банчируются таким образом, чтобы обеспечить существенное возрастание амплитуды этой волны по сравнению с начальным моментом времени (рис. 12).

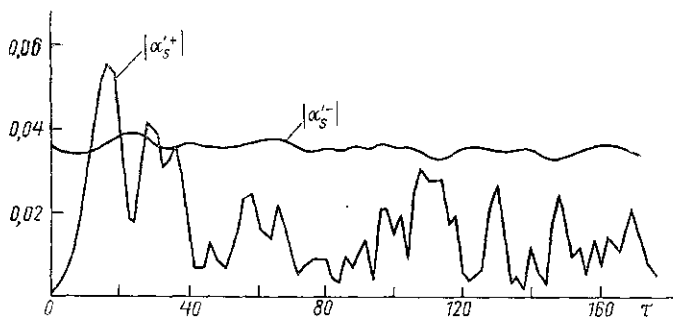


Рис. 12. Амплитуды рассеянных волн  $\alpha_u' |\alpha_s'^{\pm}|/2$  на концах слоя как функции времени при  $q=0,04$ ,  $\alpha_u'=0,77$ ,  $v_+=2$ ,  $v_- = 0,1$ ,  $B=50$

При идеальной группировке электронов максимальное значение амплитуды этой волны определяется соотношением  $|\alpha_s^+| = q\alpha_u' B/2$ . Пиковая амплитуда поля  $|\alpha_s^+|$  на рис. 12 примерно в 2,7 раза меньше этой величины. Таким образом, в определенный момент времени  $\tau \simeq 15$  достигается высокая степень когерентности излучения частиц. При больших временах происходит сильное перемешивание частиц внутри слоя и амплитуда волны  $A_s^+$  падает.

Рассмотрим теперь особенности сверхизлучения в лабораторной системе отсчета. Если в сопровождающей системе частоты волн, излучаемых слоем в  $\pm z$ -направлениях, совпадали, то в лабораторной системе при  $v_{||} \rightarrow c$  эти частоты будут существенно отличаться:  $\omega_+/\omega_- \simeq 2\gamma^2$ . Соответственно с учетом закона сохранения числа квантов получаем, что мощность, излучаемая в положительном направлении оси  $z$ , будет существенно превосходить мощность, излучаемую в противоположном направлении:

$$\frac{P^+}{P^-} = \frac{\omega_+}{\omega_-} \frac{P'^+}{P'^-} \simeq 4\gamma^2, \quad (29)$$

где  $P'^{\pm} = |A_s'^{\pm}|^2 / (8\pi\omega_u'^2 c)$ . Таким образом, в лабораторной системе отсчета основная доля энергии сверхизлучения будет сосредоточена в коротковолновой компоненте и исследованный эффект может рассматриваться как перспективный для получения когерентного излучения, в особенности в диапазонах, в которых отсутствуют эффективные отражатели.

Заметим в заключение, что проведенный выше анализ остается в силе, когда осцилляция сообщается движущемуся или неподвижному электронному слою бегущей электромагнитной волной накачки.

## ЛИТЕРАТУРА

- [1] Ковалев Н. Ф., Петелин М. И. // Релятивистская высокочастотная электроника. Горький, 1981. Вып. 2. С. 63. [2] Tang C. M., Sprangle P. // Phys. of Quant. Electr. V. 9: Free-Electron Generators of Coherent Radiation. Addison — Wesley, 1982. P. 849. [3] Афонин А. М., Канавец В. И., Черепенин В. А. // Радиотехн. и электроника. 1980. 25, № 9. С. 1945. [4] Канавец В. И., Корженевский А. В., Черепенин В. А. // Радиотехн. и электроника. 1985. 30, № 11. С. 2202. [5] Черепенин В. А. // Генераторы и усилители на релятивистских электронных потоках. М., 1987. С. 76. [6] Кондратенко А. М., Салдин Е. А. // ЖТФ. 1981. 51, № 8. С. 1633. [7] Ginzburg N. S., Kovalev N. F., Rusov N. Yu. // Opt. Commun. 1983. 46, № 5—6. P. 300. [8] Sharlemann E. T., Sessler A. M., Wurtele J. S. // Phys. Rev. Lett. 1985. 54, № 17. P. 1925. [9] Moore G. T. // Opt. Commun. 1985. 52, № 1. P. 46. [10] Гинзбург Н. С., Ковалев Н. Ф. // Письма в ЖТФ. 1987. 13, № 5. С. 234. [11] Гинзбург Н. С., Сергеев А. С. // ЖТФ. 1989. 59, № 3. С. 126; ЖТФ. 1990. 61, № 8. С. 40. [12] Гинзбург Н. С., Сергеев А. С. // Письма в ЖТФ. 1988. 14, № 20. С. 1844; 1989. 15, № 10. С. 78. [13] Ginzburg N. S., Gorshkova M. A., Sergeev A. S. // Opt. Commun. 1990. 76, № 1. P. 69. [14] Гинзбург Н. С. // Физ. плазмы. 1989. 15, № 11. С. 1274. [15] Гинзбург Н. С., Ковалев Н. Ф., Сергеев А. С. // Письма в ЖТФ. 1990. 16, № 18. С. 33. [16] Карбушев Н. И., Шаткус А. Д. // Письма в ЖТФ. 1989. 99, № 11. С. 594. [17] Карбушев Н. И. // Письма в ЖТФ. 1989. 15, № 24. С. 93. [18] Гинзбург Н. С., Зотова И. В., Сергеев А. С. // Физ. плазмы. 1991. 17, № 6. С. 706. [19] Гинзбург Н. С., Ковалев Н. Ф., Петелин М. И. // Релятивистская высокочастотная электроника. Горький, 1991. Вып. 6. С. 7. [20] Канавец В. И., Стабинис А. Ю. // Вестн. Моск. ун-та. Физ. Астрон. 1973. 14, № 2. С. 186. [21] Железняков В. В., Кочаровский В. В., Кочаровский Вл. В. // Изв. вузов, Радиофизика. 1986. 29, № 9. С. 1095. [22] Volpafacio R., Magoli S., Piovella N. // Opt. Commun. 1988. 68, № 5. P. 369. [23] Ильинский Ю. А., Маслова Н. С. // ЖЭТФ. 1988. 94, № 1. С. 171. [24] Гинзбург Н. С. // Письма в ЖТФ. 1988. 14, № 5. С. 440. [25] Гинзбург Н. С., Зотова И. В. // Письма в ЖТФ. 1989. 15, № 14. С. 83. [26] Гинзбург Н. С., Новожилова Ю. В. // Письма в ЖТФ. 1989. 15, № 19. С. 60. [27] Гинзбург Н. С., Сергеев А. С. // Письма в ЖТФ. 1990. 16, № 20. С. 9. [28] Гинзбург Н. С., Сергеев А. С. // ЖТФ. 1991. 99, № 2. С. 484. [29] Вайнштейн Л. А., Клеев А. И. // Лекции по электронике СВЧ и радиофизике: 8-я школа-семинар инженеров. Кн. 1. Саратов, 1989. С. 25. [30] Железняков В. В., Кочаровский В. В., Кочаровский Вл. В. // // УФН. 1989. 159, № 2. С. 194. [31] Кобелев Ю. А., Островский Л. А., Соустова И. А. // Изв. вузов, Радиофизика. 1986. 29, № 9. С. 1124. [32] Dicke R. H. // Phys. Rev. 1959. 93, № 1. P. 99. [33] Железняков В. В., Кочаровский В. В., Кочаровский Вл. В. // ЖЭТФ. 1984. 87, № 5. С. 1565. [34] Андреев А. В., Емельянов В. И., Ильинский Ю. А. // Кооперативные явления в оптике. М., 1988. [35] Братман В. Л., Гинзбург Н. С., Петелин М. И. // ЖЭТФ. 1979. 76, № 3. С. 938. [36] Гинзбург Н. С. // Письма в ЖТФ. 1984. 16, № 10. С. 584. [37] Kroil N. M., Morton P. L., Rosenbluth M. N. // IEEE J. Quant. Electron. 1981. QE-17, N 8. P. 1436.